

RÓWNOLEGLY ALGORYTM NEURO-TABU DLA PROBLEMU Gniazdowego Szeregowania Zadań

Wojciech BOŻEJKO, Mariusz UCHROŃSKI, Mieczysław WODECKI

Streszczenie: W pracy proponujemy zastosowanie dwóch równoległych algorytmów bazujących na mechanizmie neuro-tabu do rozwiązywania klasycznego problemu gniazdowego szeregowania zadań (*job shop*). Pierwszy z algorytmów oparty jest na wykonywaniu niezależnych współbieżnych algorytmów poszukiwania z zabronieniami (*tabu search*) z siecią neuronową zastępującą listę ruchów zabronionych (algorytm neuro-tabu). Drugi z algorytmów bazuje na unikalnej metodzie dywersyfikacji połączonej z mechanizmem ścieżek łączących (*path-relinking*) zastosowanym do zbioru rozwiązań elitarnych. Proponowane podejścia okazują się szczególnie efektywne dla przykładów problemów o dużych rozmiarach.

Słowa kluczowe: optymalizacja dyskretna, GPU, poszukiwanie z zabronieniami, sieć neuronowa

1. Wprowadzenie

Rozważamy w pracy problem gniazdowy szeregowania zadań, który można ująć następująco (zobacz [2]). Dane są zbiór zadań oraz zbiór maszyn. Każde zadanie składa się z pewnej liczby operacji które muszą zostać wykonane w zadanej kolejności, każde na dedykowanej sobie maszynie, przez pewien czas. Wykonanie operacji nie może być przerywane. Każda maszyna może wykonywać co najwyżej jedną operację w danym momencie czasu. Chcemy znaleźć takie uszeregowanie (tj. przyporządkowanie operacji do momentów czasowych na maszynach) które minimalizuje maksymalny czas wykonania zadań (ang. *makespan*). Tak opisany gniazdowy problem szeregowania zadań, choć prosty do zdefiniowania, jest z punktu widzenia teorii złożoności obliczeniowej problemem silnie NP-trudnym i jest uważany za jeden z najtrudniejszych problemów optymalizacji kombinatorycznej.

Z powodu NP-trudności problemu do jego rozwiązywania rekomenduje się głównie heurystyki i metaheurystyki jak „najrozsądniejsze” metody rozwiązania. Większość proponowanych metod odnosi się do problemu minimalizacji maksymalnego czasu zakończenia wykonywania zadań. Cytując najnowsze publikacje dotyczące metaheurystyk dla rozważanego problemu, wymienić należy prace: Jain, Ranganwamy i Meeran [9]; Pezzella i Merelli [12]; Grabowski i Wodecki [6]; Nowicki i Smutnicki [11]; Bożejko i Uchroński [3]. Algorytmy heurystyczne proponują także Holthaus i Rajendran [8] oraz Bushee i Svestka [4]. Dla innych kryteriów regularnych takich jak kryterium sumacyjne oraz sumy spóźnień w literaturze proponowane są metaheurystyki bazujące na metodzie poszukiwania z zabronieniami [1] i algorytmu genetycznego [10].

W niniejszej pracy proponujemy nowe podejście do projektowania rozproszonych algorytmów poszukiwania z zabronieniami rozwiązywania trudnych problemów optymalizacji dyskretnej, takich jak problem gniazdowy, używając architektury multi-GPU, tj. klastra złożonego z węzłów wyposażonych w karty obliczeniowe GPU.

2. Definicja problemu

Dany jest zbiór zadań $J = \{1, 2, \dots, n\}$, które należy wykonać na maszynach ze zbioru $P = \{1, 2, \dots, m\}$. Zadanie jest ciągiem pewnych operacji. Każdą operację należy wykonać bez przerywania na odpowiedniej maszynie w ustalonym czasie. Problem polega na wyznaczeniu kolejności wykonywania operacji na każdej maszynie, minimalizującej czas wykonania wszystkich zadań.

Niech $O = \{1, 2, \dots, o\}$ będzie zbiorem wszystkich operacji. Zbiór ten można rozbić na ciągi odpowiadające zadaniom przy czym, zadanie $j \in J$ jest ciągiem o_j operacji, które będą kolejno wykonywane na odpowiednich maszynach (tzw. *ciąg technologiczny*). Operacje te są indeksowane liczbami $(l_{j-1} + 1, \dots, l_{j-1} + o_j)$, gdzie $l_j = \sum_{i=1}^j o_i$ jest liczbą operacji pierwszych j zadań, $j = 1, 2, \dots, n$, przy czym $l_0 = 0$, a $o = \sum_{i=1}^n o_i$. Operacja $v \in O$ będzie wykonywana na maszynie $\mu_v \in P$ w czasie p_v . Zbiór O można także rozbić na podzbiory $O_k = \{v \in O : \mu_v = k\}$ ($k \in P$) operacji wykonywanych na tej samej maszynie. Niech permutacja π_k wyznacza kolejność wykonywania operacji ze zbioru O_k na maszynie k . Przez Π_k oznaczmy zbiór wszystkich permutacji elementów z O_k . Wobec tego, dowolna kolejność wykonywania wszystkich operacji na maszynach jest wyznaczona przez konkatenację m ciągów (permutację) $\pi = (\pi_1, \pi_2, \dots, \pi_m)$, gdzie $\pi \in \Phi = \Pi_1 \times \Pi_2 \times \dots \times \Pi_m$. Oczywiście Φ może zawierać także rozwiązania niedopuszczalne.

Każde rozwiązanie dopuszczalne problemu gniazdowego można przedstawić w postaci grafu. Dla dowolnej kolejności wykonywania operacji na maszynach (permutacji $\pi \in \Phi$), konstruujemy graf skierowany z obciążonymi wierzchołkami (*sieć*) $G(\pi) = (V, R \cup E(\pi))$, gdzie V jest zbiorem wierzchołków, a $R \cup E(\pi)$ zbiorem łuków, przy czym:

1. $V = O \cup \{s, c\}$, gdzie s i c są dodatkowymi (fikcyjnymi) operacjami reprezentującymi odpowiednio „start” i „zakończenie”. Wagą wierzchołka $v \in O$ jest czas wykonywania p_v , odpowiadającej mu operacji ($p_s = p_c = 0$).

$$2. \quad R = \bigcup_{j=1}^n \bigcup_{i=1}^{o_j-1} \{(l_{j-1} + i + 1)\} \cup \{(s, l_{j-1} + 1)\} \cup \{(l_{j-1} + o_j, c)\}.$$

Zbiór R zawiera łuki łączące kolejne operacje tego samego zadania oraz łuki z wierzchołka s do pierwszej operacji każdego zadania i łuki od ostatniej operacji każdego zadania do wierzchołka c .

$$3. \quad E(\pi) = \bigcup_{k=1}^m \bigcup_{i=1}^{|\mathcal{O}^k|-1} \{\pi_k(i+1)\}.$$

Łatwo zauważyć, że łuki ze zbioru $E(\pi)$ łączą operacje wykonywane na tej samej maszynie (π_k jest permutacją operacji z O_k).

Permutacja (kolejność operacji na maszynach) $\pi \in \Phi$ jest dopuszczalna wtedy i tylko wtedy, gdy odpowiadający jej graf $G(\pi)$ nie zawiera cykli.

Niech permutacja $\pi \in \Phi$ będzie rozwiązaniem dopuszczalnym dla problemu gniazdowego, a $G(\pi)$ odpowiadającym jej grafem. Ciąg wierzchołków (v_1, v_2, \dots, v_k) grafu $G(\pi)$ taki, że $(v_i, v_{i+1}) \in R \cup E(\pi)$ dla $i = 1, 2, \dots, k-1$, nazywamy *drogą* (lub *ścieżką*) z wierzchołka v_1 do v_k . Przez $C(v, u)$ oznaczmy najdłuższą drogę (*drogę krytyczną*) w $G(\pi)$ z wierzchołka v do u , a przez $L(v, u)$ *długość* (sumę wag wierzchołków) tej drogi. Łatwo zauważyć, że czas wykonywania operacji $C_{\max}(\pi)$ w kolejności π jest równy długości $L(s, c)$ drogi krytycznej $C(s, c)$. Wobec tego, rozwiązanie problemu gniazdowego sprowadza się do wyznaczenia permutacji dopuszczalnej $\pi \in \Phi$, dla której odpowiadający jej graf ma najkrótszą drogę krytyczną, tj. minimalizuje $L(s, c)$.

3. Mechanizm tabu z zastosowaniem sieci neuronowej

W klasycznej metodzie tabu pewien ruch jest wybierany w każdej iteracji algorytmu. Ruch ten jest pamiętany na pewnej liście o długości *maxt* zwanej listą tabu i jest zabroniony przez *maxt* liczbę iteracji. Po wykonaniu przez algorytm tabu search *maxt* iteracji ruch ten jest usuwany z listy i może być wykonany ponownie. Można powiedzieć, że ruch ten traci swój status ruchu zabronionego „nagle”. Poniżej zostanie przedstawiony mechanizm, w którym status ruchu zabronionego zmniejsza się w sposób wykładniczy.

W rozpatrywanym algorytmie tabu search każdy ruch reprezentowany jest przez neuron. Dla rozpatrywanego w pracy sąsiedztwa [11] sieć neuronowa składa się z $o-1$ neuronów. Podejście to z powodzeniem zostało zastosowane dla kwadratowego problemu przydziału [7] oraz dla problemu przepływowego [13]. Niech i -ty neuron reprezentuje ruch polegający na zamianie dwóch przyległych elementów na pozycjach i i $i+1$ w permutacji π . W zaproponowanej architekturze sieci neuronowej historia każdego neuronu jest pamiętana jako jego stan wewnętrzny (*efekt tabu*). Jeśli w pewnej iteracji neuron zostanie aktywowany to na jego wyjściu zostanie ustalona wartość 1, a na wyjściach pozostałych neuronów zostanie ustalona wartość 0. Aktywowany w danej iteracji neuron nie może być ponownie aktywowany przez kolejnych s iteracji. Każdy neuron opisany jest przez następujące równania:

$$\eta_i(t+1) = \alpha \Delta_i(t), \quad (1)$$

$$\Delta_i(t) = \frac{C_{\max}(\pi_v^{(t)}) - C_{\max}^*}{C_{\max}^*}, \quad (2)$$

$$\gamma_i(t+1) = \sum_{d=0}^{s-1} k^d x_i(t-d), \quad (3)$$

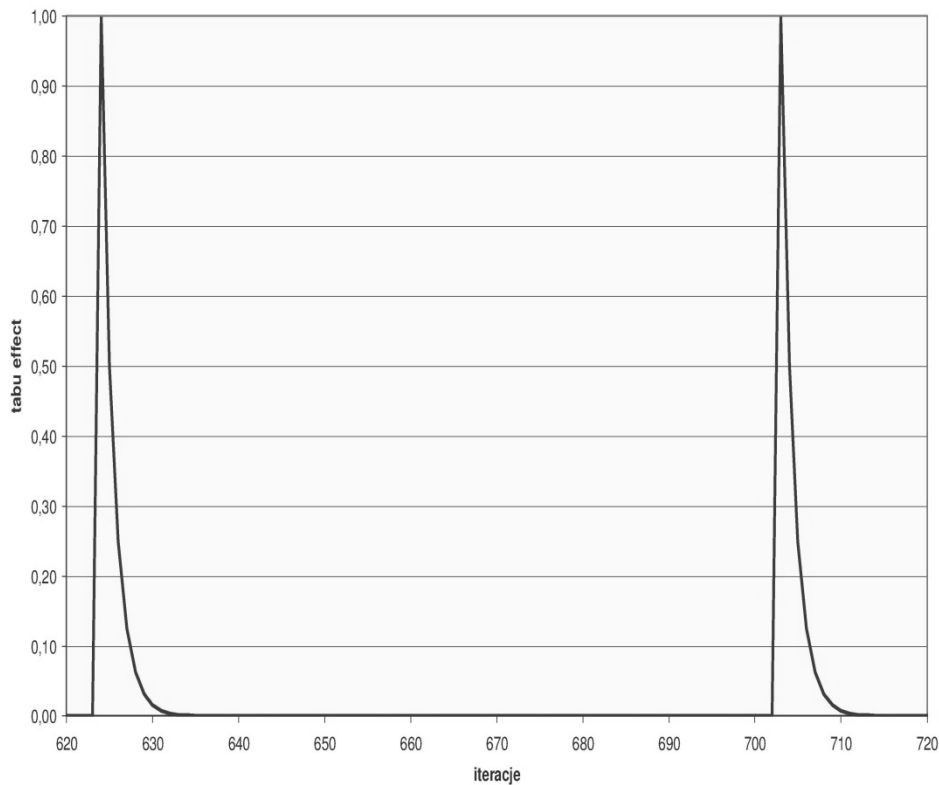
gdzie $x_i(t)$ oznacza wyjście neuronu i w iteracji t . Symbol $C_{\max}(\pi_v^{(t)})$ oznacza wartość funkcji celu dla permutacji uzyskanej w wyniku wykonania ruchu v w iteracji t , tzn. $\pi^{(t)}$. Symbol $\Delta_i(t)$ oznacza znormalizowaną, bieżącą wartość funkcji celu, a C_{\max}^* oznacza najlepszą znaną dotychczas wartość funkcji celu. Parametry α i k są

współczynnikami skalującymi. Symbol $\eta_i(t+1)$ (*gain effect*) określa jakość ruchu ν . Zmienna $\gamma_i(t+1)$ (*tabu effect*) przechowuje historię neuronu i dla ostatnich s iteracji. Neuron jest aktywowany jeżeli ma niską wartość efektu tabu i zapewnia lepszą redukcję C_{max} . Dokładniej neuron i zostaje aktywowany jeżeli ma najmniejszą wartość $\{\eta_i(t+1) + \gamma_i(t+1)\}$ spośród wszystkich neuronów.

Jeżeli $0 < k < 1$ i $s = t$ to równanie (3) przyjmie następującą postać:

$$\gamma_i(t+1) = k\gamma_i(t) + x_i(t), \quad (4)$$

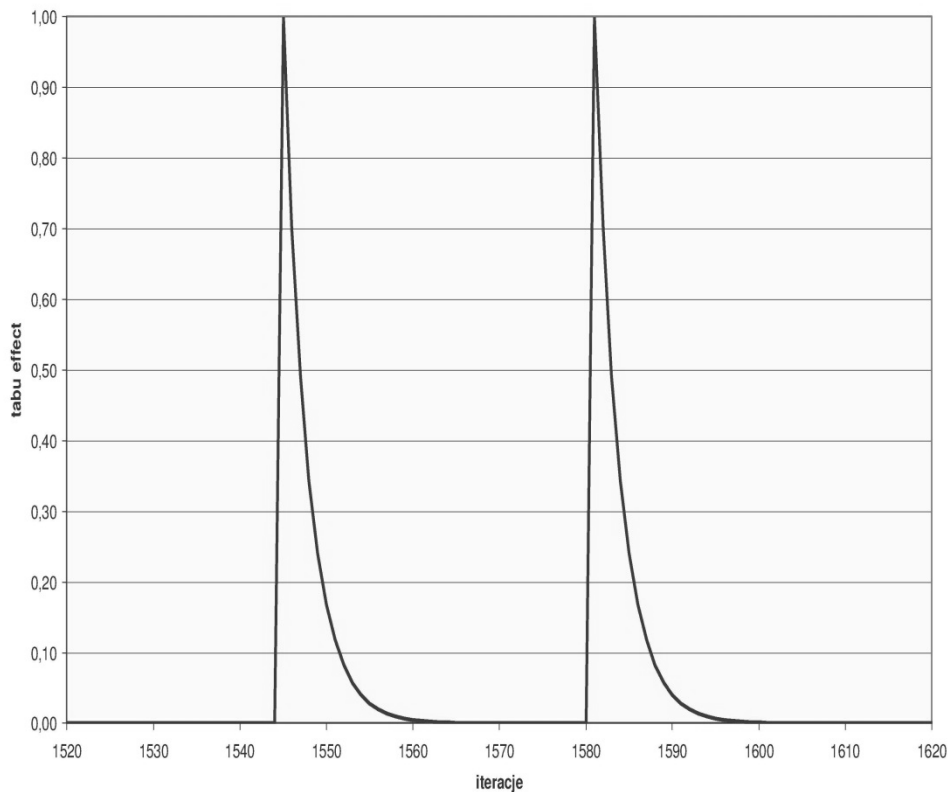
gdzie $\gamma_i(0) = 0$ oraz $x_i(0) = 0$ dla każdego i . Z równania (4) wynika, że wartość $\gamma_i(t)$ każdego neuronu maleje wykładniczo (Rysunek 1 i 2).



Rys. 1. Zmiany wartości $\gamma(t)$ dla $k = 0.5$

Wielu proponowanych w literaturze algorytmach opartych na metodzie tabu search wyposażonych jest w mechanizm pozwalający na wykonaniu ruchu zabronionego, który bezpośrednio lub pośrednio prowadzi do rozwiązań bazowych o wartości funkcji celu mniejszej niż dotychczas znaleziona. Mechanizm ten jest nazywany kryterium aspiracji. W proponowanym algorytmie neuro-tabu search taka funkcja może zostać zaimplementowana

poprzez ignorowanie efektu tabu dla ruchu ν dla którego $\Delta_i < 0$. Jednak na drodze przeprowadzonych eksperymentów obliczeniowych, mechanizm ten dla implementowanego algorytmu nie przynosi pożądanych efektów. Dlatego też algorytm neuro-tabu search dla problemu gniazdowego nie został wyposażony w taką funkcję.



Rys. 2. Zmiany wartości $\gamma(t)$ dla $k = 0.7$.

4. Równoległy algorytm neuro-tabu

Jako drugą metodę rozwiązania rozważanego problemu proponujemy podejście oparte na rozpatrywanym w pracy Nowickiego i Smutnickiego [11] z modyfikacją polegającą na użyciu algorytmu neuro-tabu zamiast klasycznego algorytmu poszukiwania z zabronieniami. Proponowany w niniejszej pracy algorytm *iNTS* operuje na zbiorze rozproszonych rozwiązań (elitarnych) uzyskanych za pomocą funkcji $NIS(\gamma, \delta, C^R)$ (opis na Rys. 3), gdzie γ, δ są rozwiązaniami referencyjnymi (porządkiem operacji) a C^R jest referencyjną wartością funkcji kryterialnej. Rozważana funkcja używa generatora sąsiedztwa opartego na zamianie przyległych operacji (*swap of adjacent operations*, zobacz

Bożejko [4]). Oznaczmy przez $N(\pi)$ zbiór ruchów otrzymanych przez zamianę dwóch przyległych operacji na ścieżce krytycznej w rozwiązaniu π (aby otrzymać rozwiązanie dopuszczalne, zobacz [6]). Podstawowym zadaniem funkcji NIS jest wygenerowanie rozwiązania $\varphi = NIS(\gamma, \delta, C^R)$ leżącego „pomiędzy” γ a δ (rozwiązaniami referencyjnymi) aby uruchomić eksplorację algorytmem $iNTS$ (zobacz Rys. 4). Aby kontrolować odległość pomiędzy danymi rozwiązaniami α, β zastosowano miarę τ Kendalla $D(\alpha, \beta)$ wyrażającą minimalną liczbę przyległych zamian (inwersji) potrzebnych do przekształcenia permutacji α^{-1} w β^{-1} (więcej o miarach odległości dla permutacji znaleźć można w pracy Diaconisa [5]). Przyjęto następujące wartości parametrów strojących: $maxE = 8$ (liczba elitarnych rozwiązań), $maxD = 5$ (maksymalna odległość, używana w głównej pętli), $maxV = 0.5$.

Algorytm 1. $NIS(\gamma, \delta, C^R)$

Wejście: γ, δ – rozwiązania referencyjne; C^R – referencyjna wartość kryterium;

Wyjście: φ – rozwiązanie; poprawione referencyjne kryterium C^R ;

$\pi \leftarrow \gamma$; $iter \leftarrow 0$. Znajdź δ^{-1} oraz $D(\gamma, \delta)$

Repeat

$iter \leftarrow iter + 1$; Wyznacz $N(\pi)$;

Dla każdego $v \in N(\pi)$ policz i zapamiętaj $C_{max}(\pi_{(v)})$;

Wyznacz $N^+ = \{v = (x, y) \in N(\pi) : \delta^{-1}(y) < \delta^{-1}(x)\}$;

if $N^+ \neq \emptyset$ **than** $K \leftarrow N^+$ **else** $K \leftarrow N(\pi)$;

Wybierz taki ruch $w \in K$, że

$$C_{max}(\pi_{(w)}) = \min_{v \in K} C_{max}(\pi_{(v)});$$

Oznacz $\pi_{(w)}$ przez α ;

$\pi \leftarrow \alpha$; $\varphi \leftarrow \pi$;

if $C_{max}(\pi) < C^R$ **than** $C^R \leftarrow C_{max}(\pi)$ **and exit**;

until $iter \geq maxV \cdot D(\gamma, \delta)$; $\{maxV \in (0, 1)$ - parametr}

Rys. 3. Funkcja $NIS(\gamma, \delta, C^R)$.

Algorytm 2. *iNTS*
Wejście: π^0 – rozwiązanie uzyskane algorytmem INSA;
Output: π^* – najlepsze znalezione rozwiązanie oraz jego wartość kryterium C^* ;
Podstaw $(\pi^1, C^1) \leftarrow NTS(\pi^0)$ oraz $C^* \leftarrow C^1$;
for $i \leftarrow 2, \dots, maxE$ **do**
 $\varphi \leftarrow NIS(\pi^{i-1}, \pi^0, C^*)$; $(\pi^i, C^i) \leftarrow NTS(\varphi)$;
 $C^* = \min\{C^*, C^i\}$;
Repeat
 Znajdź $1 \leq l \leq maxE$ takie, że
 $D(\pi^k, \pi^l) = \max\{D(\pi^k, \pi^i) : 1 \leq i \leq maxE\}$;
 Podstaw $\varphi \leftarrow NIS(\pi^k, \pi^l, C^*)$ oraz $(\pi^l, C^l) \leftarrow NTS(\varphi)$;
 if $C^l < C^k$ **than** podstaw $(\pi^*, C^*) \leftarrow (\pi^l, C^l)$ oraz $k \leftarrow l$;
until $\max\{D(\pi^k, \pi^i) : 1 \leq i \leq maxE\} < maxD$.

Rys. 4. Algorytm *iNTS*

5. Eksperymenty obliczeniowe

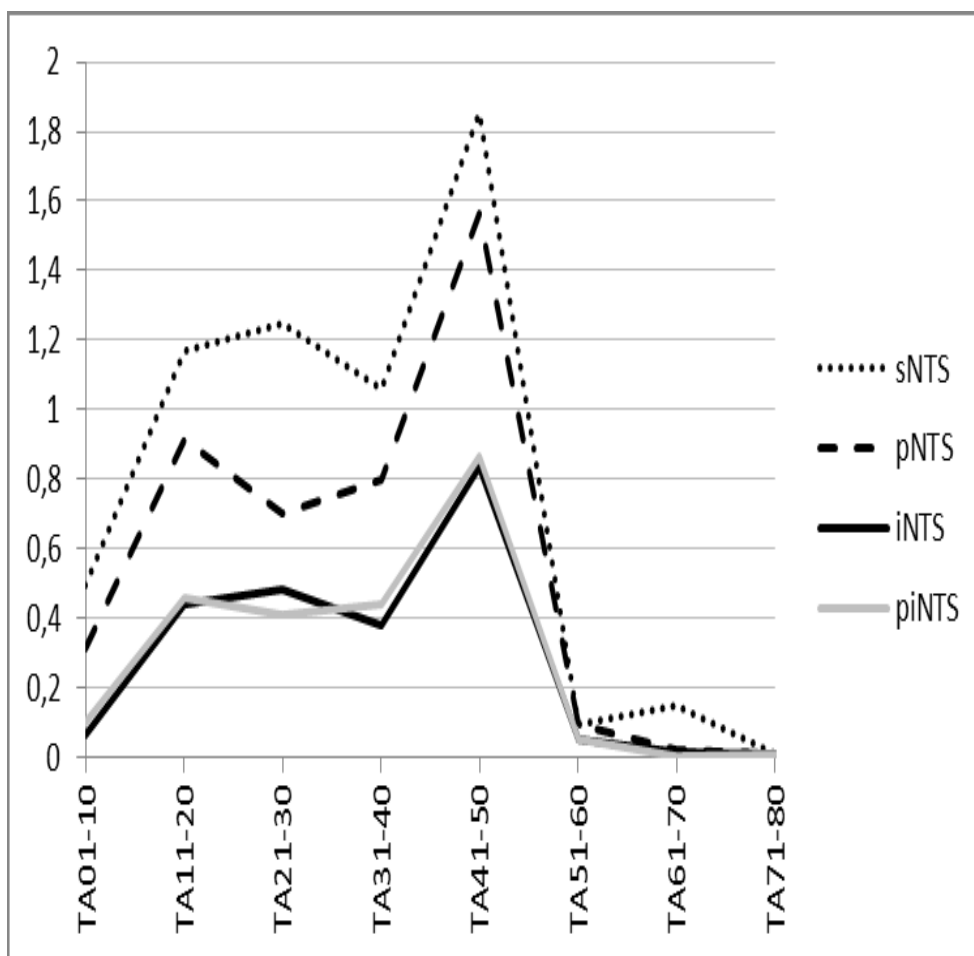
Algorytmy zostały uruchomione na 6-rdzeniowym serwerze z procesorem Intel Core i7 CPU X980 (3.33GHz) połączonym z kartą obliczeniową GPU nVidia Tesla S2050 (1792 rdzeni) pracującym pod kontrolą 64-bitowego systemu Linux Ubuntu 10.04.4 LTS I przetestowane na przykładach testowych Taillarda [14]. Wyniki obliczeń porównano w Tabeli 1. Oznaczenia poszczególnych kolumn oznaczają:

- *sNTS* – sekwencyjny algorytm Neuro Tabu Search z pracy Bożejko i Uchroński [3],
- *pNTS* – równoległy (dla liczby wątków $p = 16$) algorytm Neuro Tabu Search algorithm, model *MPSS* (*Multiple starting Points, Single Strategy*, według klasyfikacji Voß'a [14] równoległych algorytmów poszukiwania za zabronieniami – wszystkie wątki pracowały według tej samej strategii, ale startowały z różnych rozwiązań początkowych) bez komunikacji; dla każdego procesora rozwiązanie startowe było generowane przez algorytm *NTS* wykonywane przez *process_id* * 100 iteracji,
- *iNTS* – algorytm *NTS* bazujący na mechanizmie dywersyfikacji i intensyfikacji oraz zbiorze rozwiązań elitarnych opisanym w Rozdziale 4,
- *piNTS* – równoległy algorytm *iNTS*. Zbiór rozwiązań elitarnych generowany jest współbieżnie na GPU.

Tab. 1. Procentowe względne odchylenie do najlepszych znanych rozwiązań

Problem	$n \times m$	$sNTS$	$pNTS$ ($p=16$)	$iNTS$	$piNTS$ ($p=8$)
TA01-10	15×15	0,4948	0,3141	0,0652	0,0975
TA11-20	20×15	1,1691	0,9129	0,4412	0,4596
TA21-30	20×20	1,2486	0,7033	0,4803	0,4065
TA31-40	30×15	1,0592	0,7965	0,3764	0,4395
TA41-50	30×20	1,8565	1,5634	0,8328	0,8643
TA51-60	50×15	0,0915	0,0915	0,0520	0,0520
TA61-70	50×20	0,1479	0,0210	0,0140	0,0035
TA71-80	100×20	0,0090	0,0090	0,0090	0,0090
średnia		0,7596	0,5515	0,2839	0,2915

Czasy wykonania dla wszystkich instancji testowych były następujące: (sekwencyjny) NTS – 132m27.319s, (równoległy) $pNTS$ ($p = 4$) – 169m45.748s (dłuższy czas działania algorytmu spowodowany jest metodą generowania rozwiązań startowych oraz synchronizacją), $iNTS$ – około 60 godzin. Jak można zaobserwować proponowany algorytm $iNTS$ uzyskał średni poziom odchylenia względnego (*percentage relative deviation, PRD*) do najlepszych znanych rozwiązań (dla instancji testowych Taillarda) na poziomie 0,28%. Z kolei równoległy $piNTS$ uzyskał średnie PRD dla grupy przykładów o dużych rozmiarach TA61-TA70 (z przykładami dla 1000 operacji) 10 razy niższe niż proponowany algorytm $iNTS$. Porównując rezultaty uzyskane przez algorytmy $sNTS$ oraz $pNTS$ można zauważyć, że użycie środowiska wieloprocesorowego skutkuje dużym obniżeniem uzyskiwanych błędów PRD do najlepszych znanych rozwiązań (zobacz Rys. 5).



Rys. 5. Porównanie efektywności algorytmów dla przykładów Taillarda [14]

6. Wnioski

W pracy proponujemy metodologię projektowania algorytmów równoległych rozwiązywania trudnych problemów optymalizacji kombinatorycznej dla architektury współbieżnych wyposażonych zarówno w pamięć rozproszoną (klastry), jak i pamięć współdzieloną (GPU), oraz ich kombinacje (multu-GPU). Metodologia ta okazuje się być szczególnie efektywna przy rozwiązywaniu problemów o dużych rozmiarach, dla których nieskuteczne okazują się zarówno metody dokładne, jak i sekwencyjne metody metaheurystyczne, takie jak *sNTS*.

Literatura

1. Armentano V.A., Scrich C.R.: Tabu search for minimizing total tardiness in a job shop. *International Journal of Production Economics* 63(2), 131–140 (2000)
2. Bożejko W.: On single-walk parallelization of the job shop problem solving algorithms. *Computers & Operations Research* 39, 2258–2264 (2012)
3. Bożejko W., Uchroński M.: A Neuro-Tabu Search Algorithm for the Job Shop Problem. In: L. Rutkowski et al. (Eds.), *Proceedings of the ICAISC 2010, Lecture Notes in Artificial Intelligence* No. 6114, Springer, 387–394 (2010)
4. Bushee D.C., Svestka J.A.: A bi-directional scheduling approach for job shops. *International Journal of Production Research* 37(16), 3823–3837 (1999)
5. Diaconis P.: *Group Representations in Probability and Statistics. Lecture Notes - Mono-graph Series* Vol. 11, Institute of Mathematical Statistics, Harvard University (1988).
6. Grabowski J., Wodecki M.: A very fast tabu search algorithm for the job shop problem. w: C. Rego, B. Alidaee (Eds.), *Adaptive memory and evolution, tabu search and scatter search*. Kluwer Academic Publishers, Dordrecht (2005)
7. Hasegawa M., T. Ikeguchi, K. Aihara, Exponential and chaotic neuro-dynamical tabu searches for quadratic assignment problems. *Control and Cybernetics* 29, 773–788 (2000)
8. Holthaus O., Rajendran C.: Efficient jobshop dispatching rules: further developments. *Production Planning and Control* 11, 171–178 (2000)
9. Jain A.S., Rangaswamy B., Meeran S.: New and stronger job-shop neighborhoods: A focus on the method of Nowicki and Smutnicki (1996). *Journal of Heuristics* 6(4), 457–480 (2000)
10. Mattfeld D.C., Bierwirth C.: An efficient genetic algorithm for job shop scheduling with tardiness objectives. *European Journal of Operational Research* 155(3), 616–630 (2004)
11. Nowicki E., Smutnicki C.: An advanced tabu search algorithm for the job shop problem. *Journal of Scheduling* 8(2), 145–159 (2005)
12. Pezzella F., Merelli E.: A tabu search method guided by shifting bottleneck for the job-shop scheduling problem. *European Journal of Operational Research* 120, 297–310 (2000)
13. Solimanpur M., P. Vrat, R. Shankar, A neuro-tabu search heuristic for the flow shop scheduling problem. *Computers and Operations Research* 31, 2004, 2151–2164.
14. Taillard, E.: Benchmarks for basic scheduling problems. *European Journal of Operational Research* 64, 278–285 (1993)
15. Voß S.: Tabu search: Applications and prospects. In: D.Z. Du and P.M. Pardalos (eds.), *Network Optimization Problems*, pp. 333–353. World Scientific Publishing Co., Singapore (1993)

Dr hab. Wojciech Bożejko
Instytut Informatyki, Automatyki
i Robotyki
Politechniki Wrocławskiej
50-372 Wrocław, ul. Janiszewskiego 11-17
tel./fax: 71 320 27 45 / 71 321 26 77
e-mail: wojciech.bozejko@pwr.wroc.pl

Dr hab. Mieczysław Wodecki
Instytut Informatyki
Uniwersytet Wrocławski
50-383 Wrocław, Joliot-Curie 15
tel./fax: 71 325 12 71 / 71 375 62 44
e-mail: mwd@ii.uni.wroc.pl

Mgr inż. Mariusz Uchroński
Instytut Informatyki, Automatyki i Robotyki
Politechniki Wrocławskiej
50-372 Wrocław, ul. Janiszewskiego 11-17
tel./fax: 71 320 27 45 / 71 321 26 77
e-mail: mariusz.uchronski@pwr.wroc.pl